マントルから脱ガスする気体の酸化還元度の進化

地球大気の進化を理解するために

佐古孝介 惑星物理研 M2

DM2ゼミ 2006/12/04

目次

■背景

- 本研究
 - 手法
 - 計算結果と考察
 - ■今後の目標

背景

- 地球大気組成の進化
 - 地質学的証拠から還元的→酸化的
 - O₂增加
 - 初期地球の大気
- 生命の起源
- 物質循環
- 脱ガス

大気中主要元素の 酸化還元状態

	還元型	酸化型
Н	H_2	H_2O
C	CH ₄ , CO	CO_2
N	NH_3	N_2
S	H_2S	SO ₂ , S

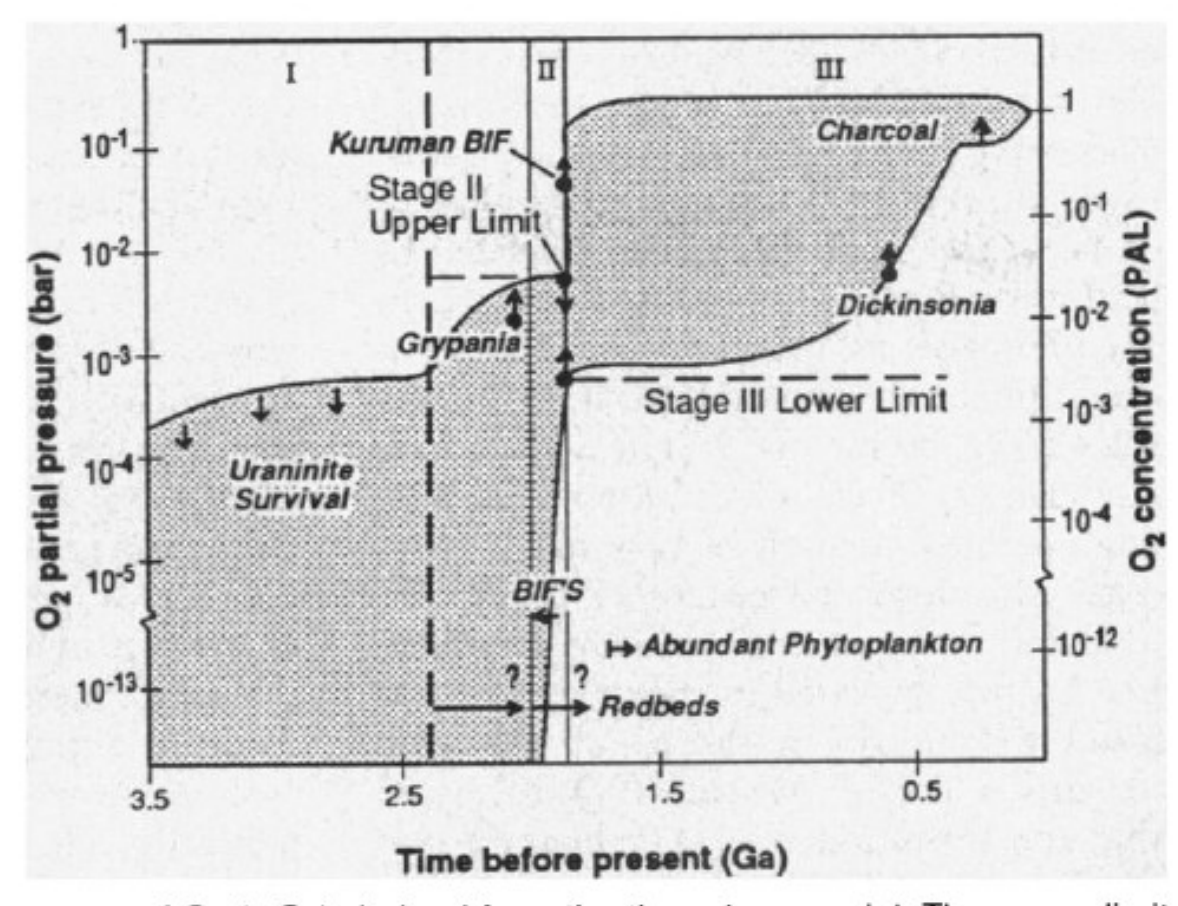
(酒井均「地球と生命の起源」より)

酸化と還元の定義

	酸化	還元			
定義1	0を得る	0を失う			
定義2	Hを失う	Hを得る			
定義3	eを失う	eを得る			
(3が普遍的な定義)					

地球の大気O2分圧の推定

Fig. 4. Estimated change in atmospheric O2 levels over geologic time. The shaded area represents the range of O2 concentrations permitted by the data. The solid vertical lines represent the most likely dates for the transitions between stages. The dashed vertical line at 2.4 Ga indicates a possible earlier date for the beginning of stage II that is consistent with some disputed redbed data (77) and with the early appearance of Grypania. The dashed horizontal lines show the the-



oretical limits on the partial pressure of O_2 (pO_2) derived from the three-box model. The upper limit on Archean pO_2 from uraninite survival is derived from equation 7.30 of (26) for CO_2 partial pressures from Fig. 2. The point labeled "Kuruman BIF" is a lower limit on pO_2 based on a paleoweathering rate analysis (81). The lower limits on Late Proterozoic and Phanerozoic pO_2 labeled "Dickinsonia" and "Charcoal" are from (83) and (84), respectively. The arrow labeled "Abundant Phytoplankton" is from (34). Other constraints on pO_2 are described in the text.

(kasting, 1993)

初期の地球大気

- 酸化的案
 - 酸化的late veneer (Wanke et al., 1984)
 - マントル組成が現在と変わらない (Holland, 1984)
- 還元的案
 - 均一集積 (Kuramoto and Matsui, 1996)
 - 大気は還元的、マントルには大量のH2O
 - H2の散逸で徐々に酸化的に

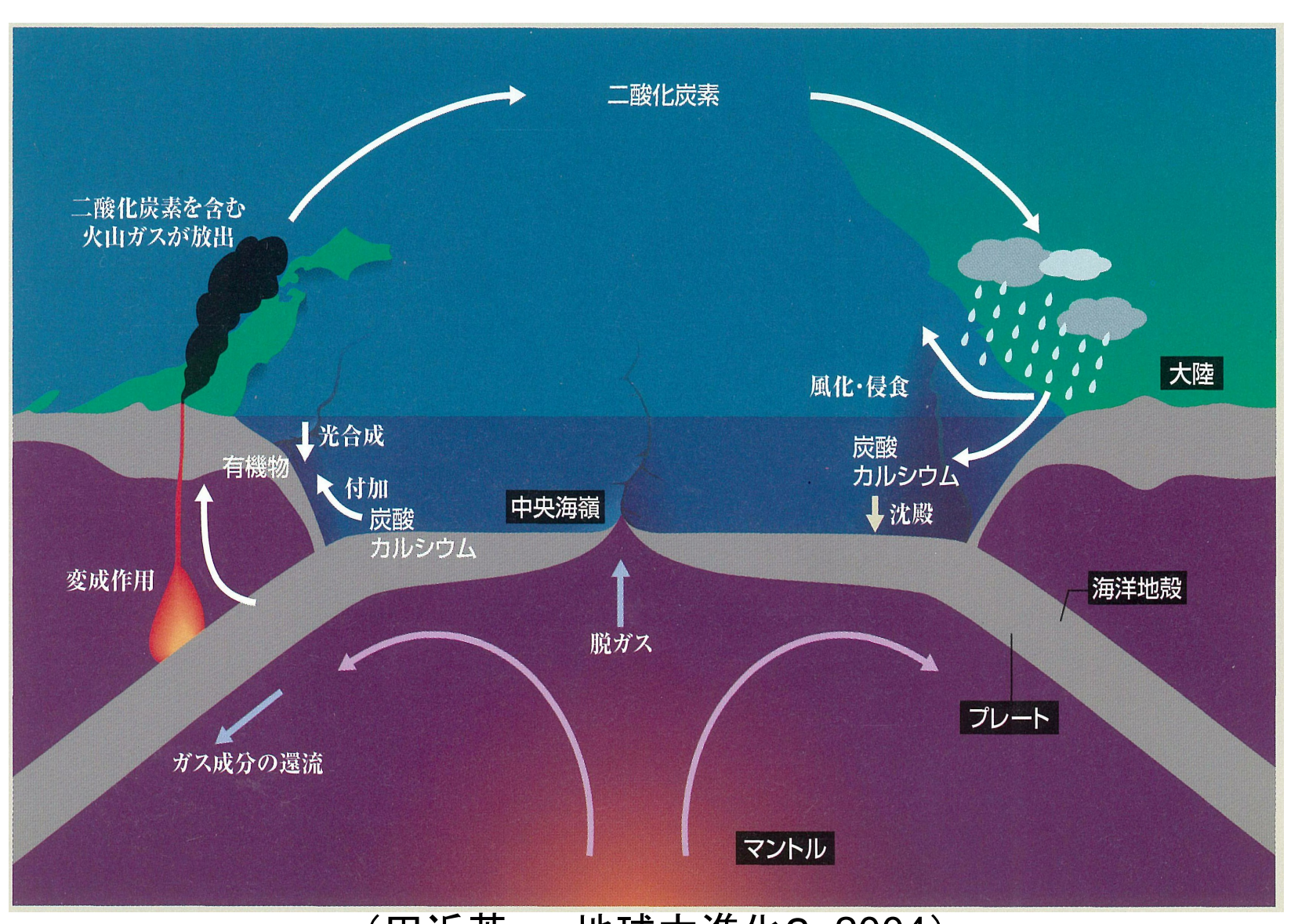
生命の起源

- 地球形成後、数~十億年
- 化学進化によって誕生
 - 還元的な大気組成の方が有利(ミラーの実験)
- いつまで大気は還元的なのか?

物質循環

- 大気CO2量
 - 炭素循環 (Tajika and Matsui, 1992)
- 大気の酸化還元度 本研究
 - 還元型分子種の供給は脱ガス、消失は宇宙空間への散逸、光合成起源のO2との反応
 - 今回は供給部分を押さえる

炭素循環



(田近英一, 地球大進化2, 2004)

脱ガス

- 脱ガスする場 一中央海嶺、ホットスポット、島弧
- 中央海嶺が最も大きな寄与

中央海嶺 総マグマ生成率=21km³/年 沈み込み帯・島弧 2.9~8.6km³/年 ホットスポット 1.9~4.0km³/年 地表・海洋底への噴出率はそれぞれこの 1/5 程度

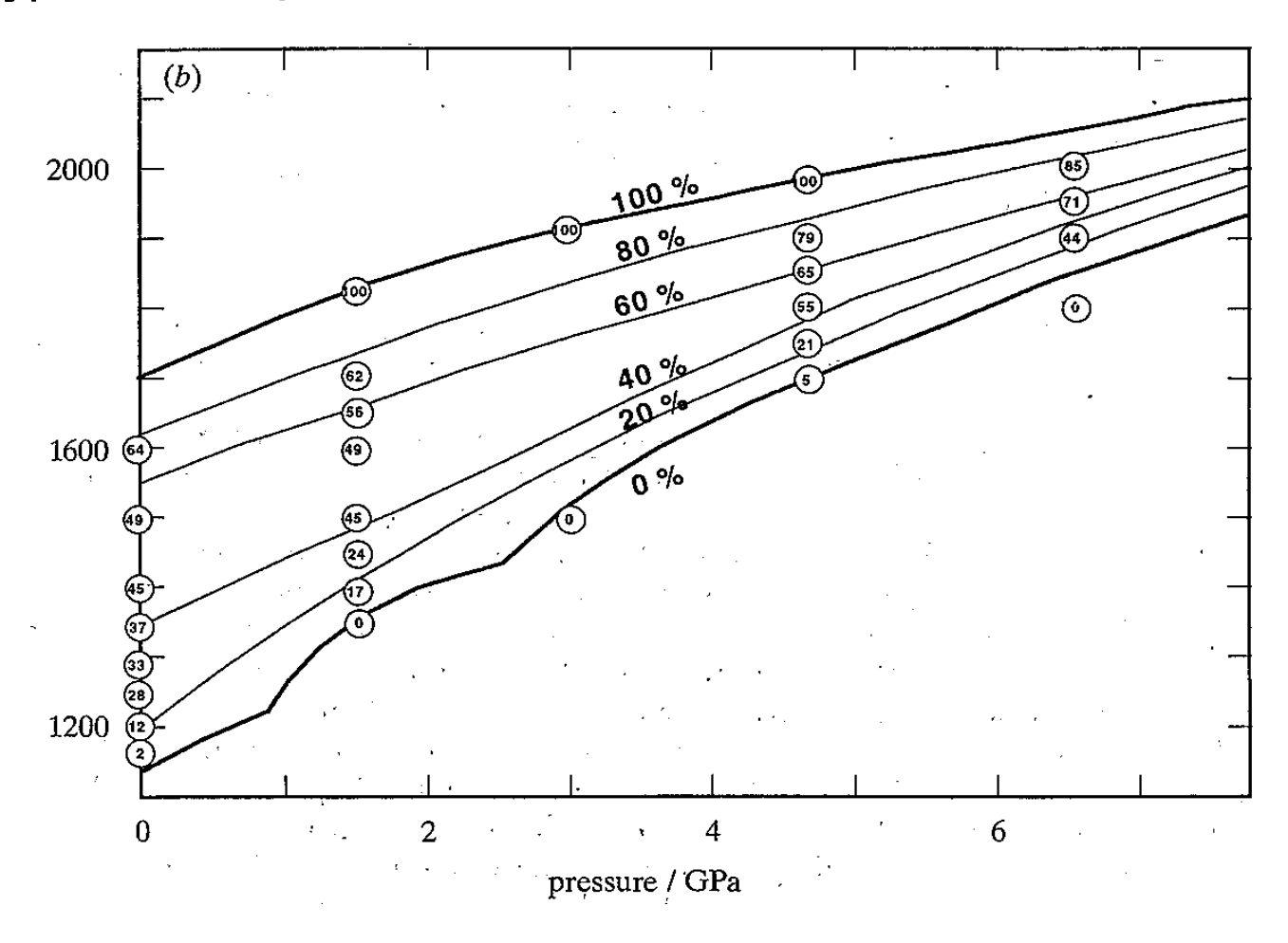
http://www.ep.sci.hokudai.ac.jp/~keikei/chigaku1/arch2006/No08.pdf

- 中央海嶺の脱ガスの仕組みー減圧融解
- ガスの組成はマグマとの化学反応で決まる

$$H_2O + 2FeO \rightleftharpoons H_2 + Fe_2O_3$$

減圧融解

中央海嶺では、プレートの拡大を補償する上昇流のため減 圧融解が生じる



KLB-1の相図ー融解実験データ(Takahashi et al., 1993)

脱ガス気体の組成

- 現在は酸化的
 - マントル中にFe(Ⅲ)が多く、温度が比較的低い

表 3.1 火山ガスの化学組成

	•									/	
No	ike III	岩石	温度			組	成(mol%)		
	· 火 山	石,石	(K)	H ₂ O	CO ₂	SO ₂	H ₂ S	HCl	H ₂	СО	N ₂
1	マウナロマ、ハワイ	玄武岩	1373	73.4	4. 15	21.0	0.56	0.16	0.48	0. 16	_
2	- スルツェイ, アイ スランド	"	1400	86.2	4.97	3.3		0.40	4.74	0.38	0.07
3	エルタアレ、エチ	"	1407	79.4	10.4	6.5		0.42	1.49	0.46	0.18
4	オピア メラピ、インドネ シア	安山岩	1173	94.0	4.3	0.5	0.5	0.2	0.5	< 0.01	< 0.1
5	薩摩硫黄島, 日本	"	843	98.1	0.47	0.82	0.05	0.49	0.07	1E-4	1E-3
6	昭和新山, 日本	石英安山 岩	1073	98.0	1.2	0.043	4E-4	0.05	0.63	3E-3	0.06
7	有珠山, 日本	"	936	96.0	2.64	0.22	0.54	0.16	0.34	5E-3	0.06

(松尾禎士, 地球化学, 1989)

- 過去は異なっていたかもしれない
 - 温度、Fe(Ⅲ)

本研究について

[大目標] 地球大気組成の進化を掴む

- 物質循環モデルを作る

[直近の目標] 脱ガス気体の酸化還元度

一 マグマの組成、温度から求める

手法

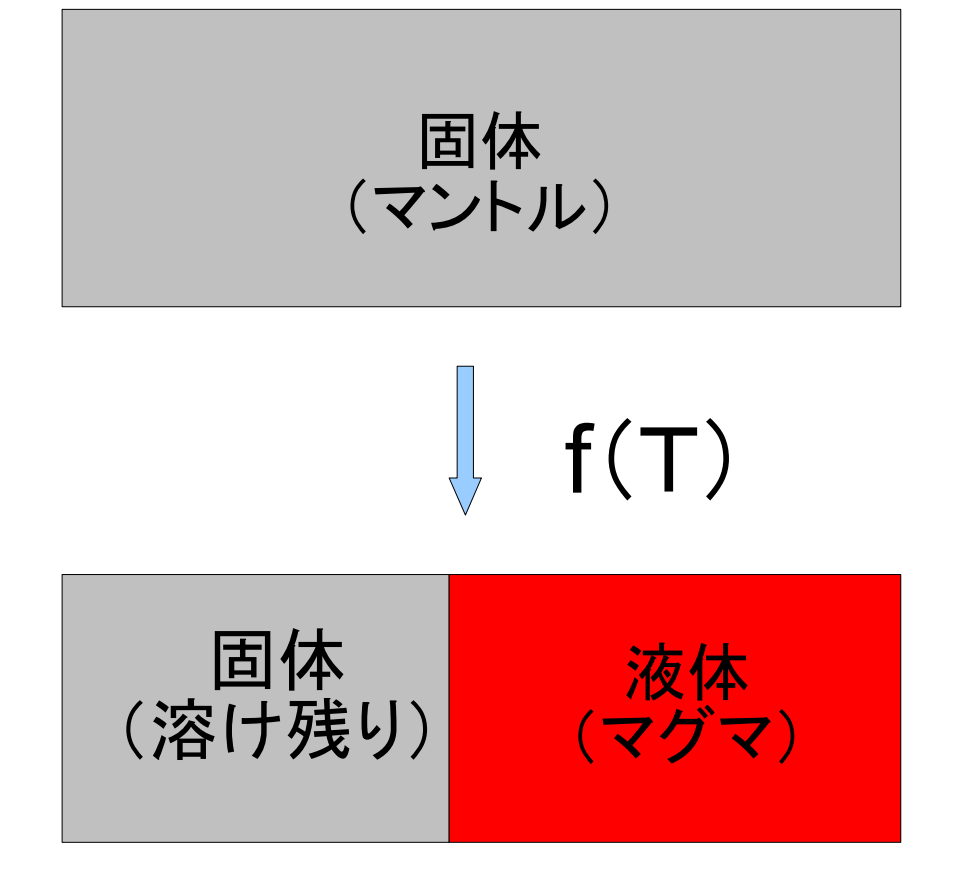
マグマの組成をマントルの組成と温度の関数として 求める(固液平衡)

マグマと共存する気体の組成を化学平衡計算により求める(気液平衡)

マグマの組成

- マントルの組成、温度 → (融解度 f) → マグマの組成成
- ●マントルの組成 = KLB1+(Fe₂O₃+H2O)
- •f >20%の時、溶け残りはカンラン石のみと仮定

- ※ KLB-1: 上部マントルを代表する実 在のカンラン岩
- ※ カンラン石: (Mgx,Fe1-x)2SiO4



マントルの組成

•KLB-1

•Fe₂O₃: パラメータ

- 上限は現在の推定値:0.1~0.4wt%(Canil et al,1994)

•H2O:パラメータ

- MORB 中に 0.01±0.05wt%(Hirth and Kohlstedt, 1996)
- H, O以外の揮発性元素は無視(Kuramoto and Matsui, 1996)

表 3-5 代表的な上部マントル構成岩石の化学組成13)

	パイロライト	PHN1611*	KLB-1*
SiO_2	45.20	44.55	44.47
TiO_2	0.71	0.25	0.16
Al_2O_3	3.54	2.80	3.59
FeO	8.47	10.24	8.10
MnO	0.14	0.13	0.12
MgO	37.47	37.94	39.21
CaO	3.08	3.32	3.44
Na_2O	0.57	0.34	0.30
K_2O	0.13	0.14	0.02
P_2O_5	0.06	•	0.03
Cr_2O_3	0.43	0.29	0.31
NiO	0.20		0.25
Total	100.00	100.00	100.00

* 実在のカンラン岩

(松久幸敬・赤木右, 地球化学概説, 2005)

カンラン石の固液分配

• マグマ中のMgO, FeO, SiO2のモル分率を求める

$$X_{\text{SiO}_2}^{\text{sol}} = \frac{1}{3}, \quad X_{\text{MgO}}^{\text{sol}} + X_{\text{FeO}}^{\text{sol}} = \frac{2}{3}$$

$$fX_{\text{SiO}_2}^{\text{liq}} + (1 - f)X_{\text{SiO}_2}^{\text{sol}} = X_{\text{SiO}_2}^{\text{total}} \qquad K_D \equiv \frac{\left(\frac{X_{\text{FeO}}^{\text{sol}}}{X_{\text{MgO}}^{\text{sol}}}\right)}{\left(\frac{X_{\text{FeO}}^{\text{liq}}}{X_{\text{MgO}}^{\text{liq}}}\right)}$$

$$fX_{\text{FeO}}^{\text{liq}} + (1 - f)X_{\text{MgO}}^{\text{sol}} = X_{\text{FeO}}^{\text{total}}$$

$$fX_{\text{FeO}}^{\text{liq}} + (1 - f)X_{\text{FeO}}^{\text{sol}} = X_{\text{FeO}}^{\text{total}}$$

(X:モル分率, sol:固相, liq:液相, total:マントル, f:融解度, K D:分配係数)

※ K_Dは実験データより0.30~0.37とする(Takahashi et al, 1993)

マグマと共存気体の化学平衡

$$H_2O + 2FeO \rightleftharpoons H_2 + Fe_2O_3$$

FeO, Fe2O3の活動度→ O2のフガシティ

Fe₂O₃
$$\rightleftarrows \frac{1}{2}$$
O₂ + 2FeO
$$\frac{f_{O_2}^{\frac{1}{2}}a_{FeO}^2}{a_{Fe_2}O_3} = K'(T)$$
$$a_{Fe_2}O_3 = \frac{[FeO]}{[FeO] + [Fe_2O_3] + [SiO] + [MgO] + \dots}$$
$$a_{Fe_2O_3} = \frac{[FeO]}{[FeO] + [Fe_2O_3] + [SiO] + [MgO] + \dots}$$
$$([] は各元素のモル数)$$

O2のフガシティ → H2, H2Oのフガシティ比

$$\begin{split} &\mathbf{H}_{2} + \frac{1}{2}\mathbf{O}_{2} \rightleftarrows \mathbf{H}_{2}\mathbf{O} \\ &\frac{f_{\mathbf{H}_{2}}f_{\mathbf{O}_{2}}^{\frac{1}{2}}}{f_{\mathbf{H}_{2}\mathbf{O}}} = K(T) \end{split} \qquad K(T) = \exp\left[\frac{\Delta G_{\mathbf{H}_{2}\mathbf{O}}(P_{0},T) - \left\{\Delta G_{\mathbf{H}_{2}}(P_{0},T) + \frac{1}{2}\Delta G_{\mathbf{O}_{2}}(P_{0},T)\right\}}{RT}\right] \end{split}$$

(f:フガシティ, a:活動度, K:平衡定数, G:ギブス・エネルギー, R:気体定数, T:絶対温度)

• Fe₂O₃の代わりにFeO_{1.464}を独立成分と考えると、理想混合を仮定して広範な実験データが説明できる

$$\begin{aligned} \text{FeO} + 0.232\text{O}_2 &\rightleftarrows \text{FeO}_{1.464} \\ \ln \frac{X_{\text{FeO}_{1.464}}}{X_{\text{FeO}}} &= 0.232 \ln f_{\text{O}_2} - \frac{\Delta H}{RT} + \frac{\Delta S}{R} - \frac{1}{RT} \Sigma \Delta W_i X_i \end{aligned}$$

 $(X: モル分率, f: フガシティ, H: エンタルピー, S: エントロピー, <math>\Delta W$: 定数項, R: 気体定数、T:絶対温度)

(Kress and Carmichael, 1988)

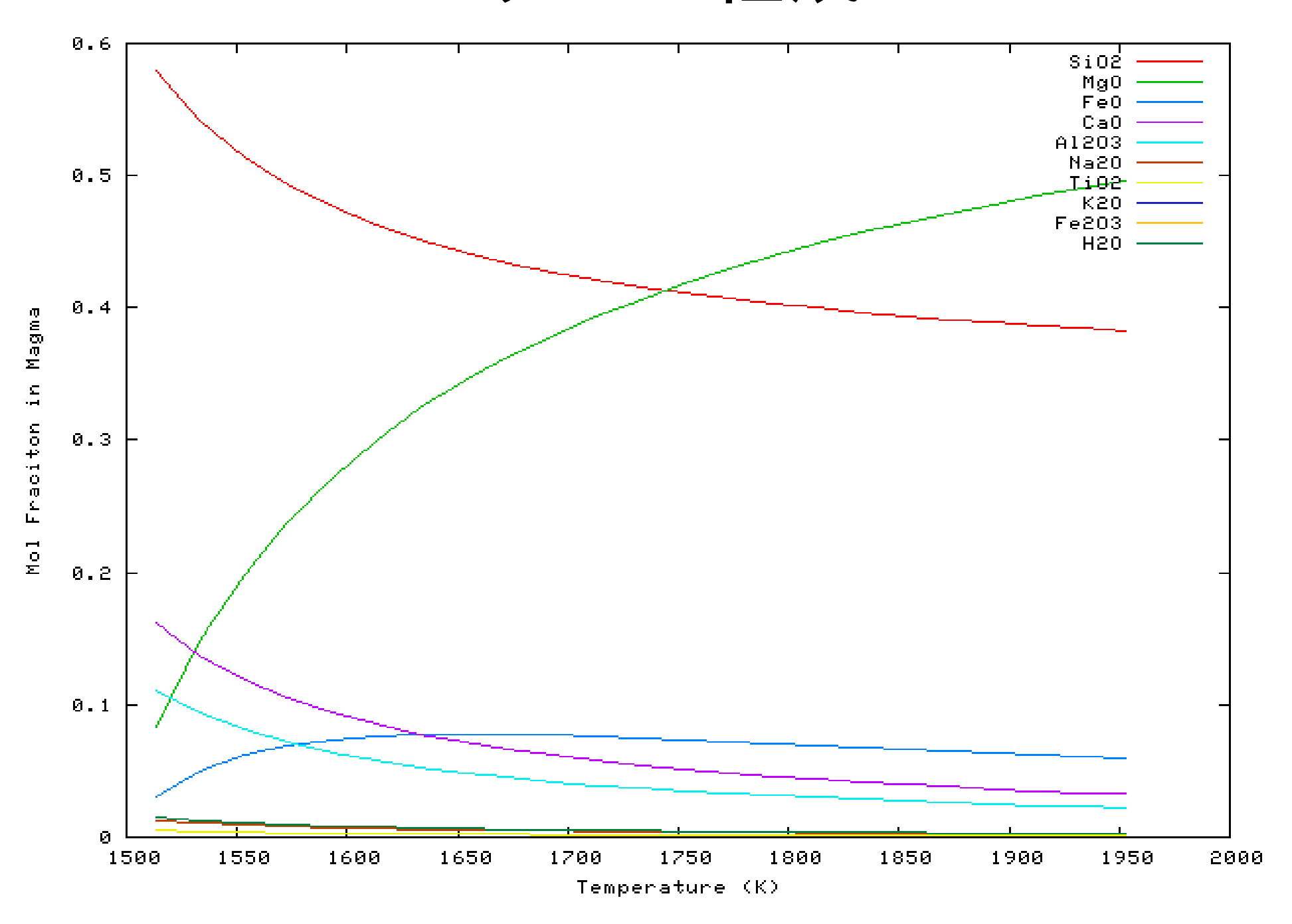
- 13FeO_{1.464} = FeO_{1.464} = FeO_{1.464}
- 変数変換

X_FeO, X_Fe₂O₃
$$\rightarrow$$
 X_FeO', X_FeO_{1.464}
X_FeO' = X_FeO-(1/6)X_Fe₂O₃
X_FeO_{1.464} = (13/6)X_Fe₂O₃

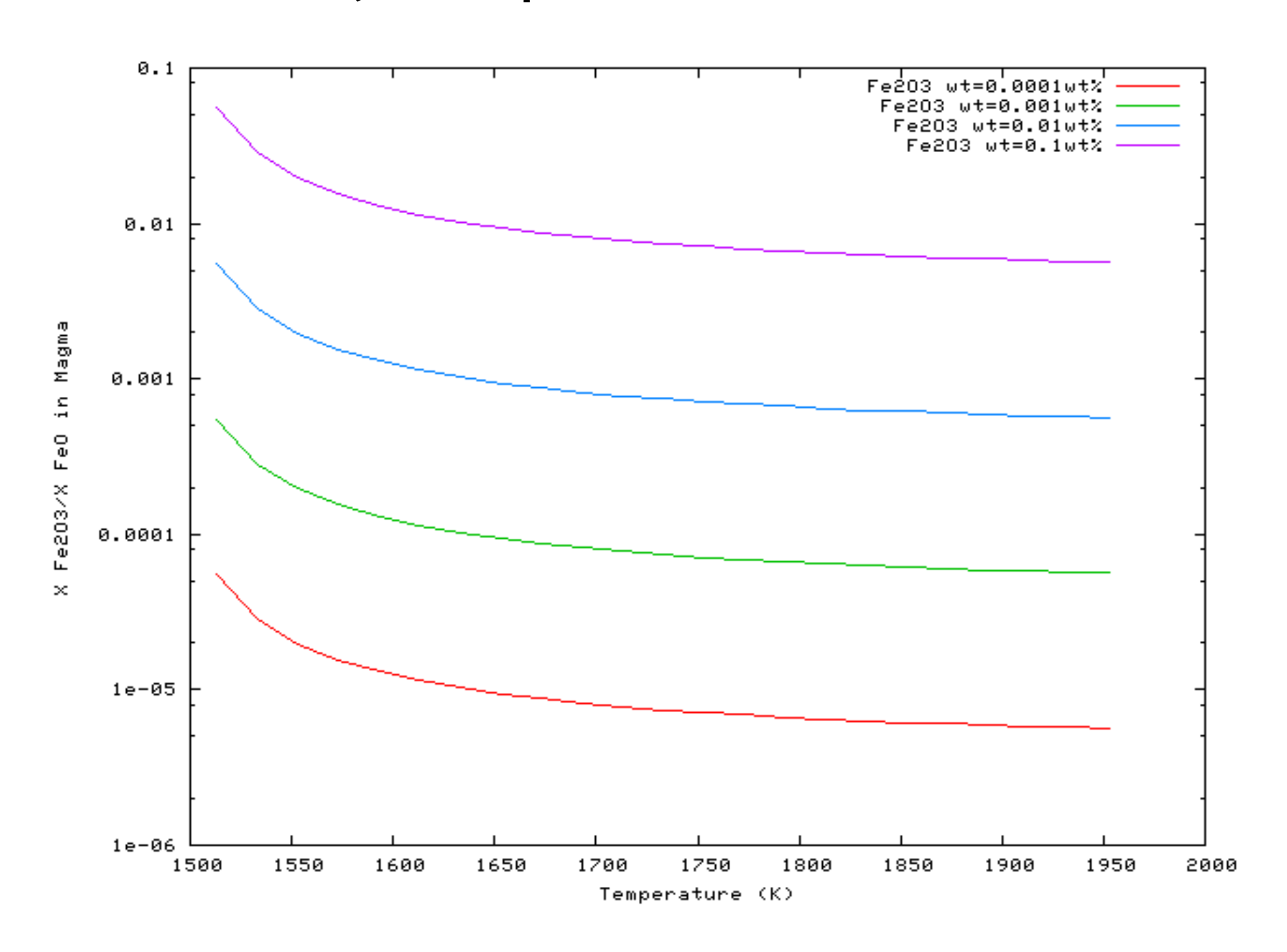
計算結果と考察

- マグマの組成(T)
 - MORB (Mid Ocean ridge Basalt)と比較?
 - Fe(Ⅲ) / Fe(Ⅱ)
- 脱ガス気体の酸化還元度(T)
 - f_H2O/(f_H2+ f_H2O)
 - マントルのFe(Ⅲ)/ Fe(Ⅱ)の依存性
 - 現在の火山ガスと比較?

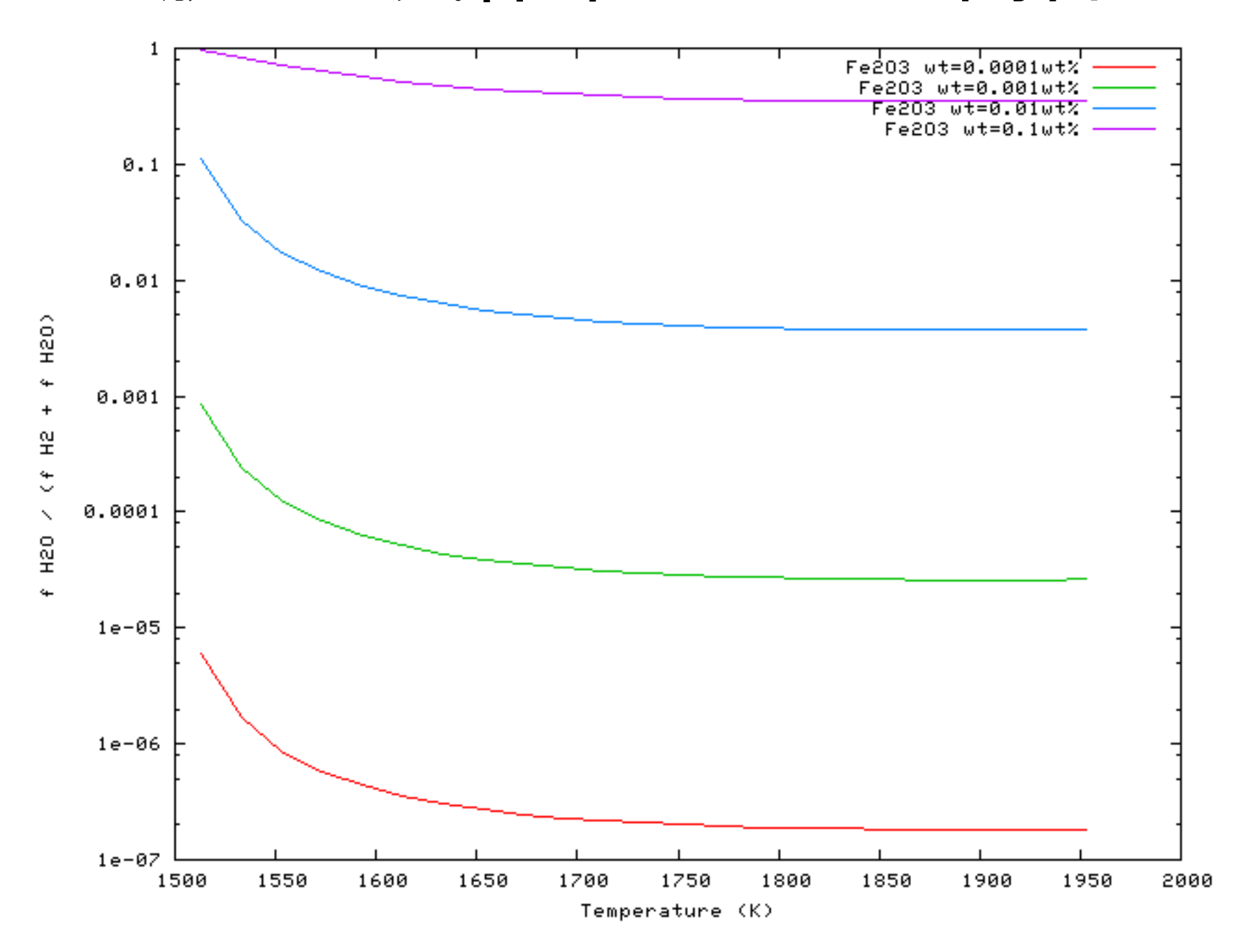
マグマの組成



マグマ中のXFe2O3/XFeO



脱ガス気体中のH2Oの割合



今後

- 質量保存
 - H₂O, H₂, FeO, Fe₂O₃の質量分配
- 各成分の脱ガスフラックス
 - マントルの温度、組成、熱流量の関数
- 進化モデルの構築
 - マントル中のFe2O3量、温度の変化